

---

---

RAPPORT DE VALIDATION :  
BUREAU D'ÉTUDES  
BALISTIQUE & TRAJECTOIRE

---

---

CALCULS SCIENTIFIQUES & PROGRAMMATION

QUENTIN BERGÉ  
MARC FERRIÈRE  
*ENSEEIH*T



FÉVRIER 2019

## Table des matières

<b>1</b>	<b>Introduction</b>	<b>2</b>
<b>2</b>	<b>Modélisation</b>	<b>2</b>
2.1	Chute Libre . . . . .	2
2.1.1	Solutions Analytiques . . . . .	2
2.1.2	Modélisation Euler . . . . .	2
2.1.3	Modélisation Runge-Kutta d'ordre 4 . . . . .	3
2.2	Objet Portant Propulsé . . . . .	3
2.2.1	Méthode Euler . . . . .	3
2.2.2	Méthode Runge-Kutta d'ordre 4 . . . . .	4
<b>3</b>	<b>Architecture</b>	<b>4</b>
3.1	Contenu . . . . .	4
3.2	Algorithmie . . . . .	4
3.2.1	Procédure RK4 . . . . .	5
3.2.2	Paramétrisation d'Angle . . . . .	6
<b>4</b>	<b>Validation</b>	<b>6</b>
4.1	Trajectoires . . . . .	6
4.1.1	Modèle Chute Libre . . . . .	6
4.1.2	Modèle Propulsé . . . . .	7
4.2	Paramétrisation d'Angle . . . . .	8
4.2.1	Modèle Chute Libre . . . . .	8
4.2.2	Modèle Propulsé . . . . .	10
<b>5</b>	<b>Conclusion</b>	<b>12</b>
<b>6</b>	<b>Résumés</b>	<b>12</b>
6.1	Abstract . . . . .	12
6.2	Résumé . . . . .	12

## 1 Introduction

Il est question ici de créer un programme pour effectuer le calcul de trajectoire d'un objet en chute libre et propulsé selon l'énoncé proposé. Dans ce rapport nous aborderons tout d'abord la modélisation du problème, puis nous nous focaliserons sur l'architecture du programme pour enfin aborder la validation. Ce document a été compilé en utilisant la suite MacTex.

## 2 Modélisation

### 2.1 Chute Libre

Si on effectue le bilan des forces sur un objet de masse  $m$  possédant une vitesse initiale  $v_0$  formant un angle  $\alpha$  avec l'axe des abscisses à une altitude initiale  $h$  uniquement soumis à la gravité :

$$\Sigma \vec{F} = m \times \vec{a}$$

Ici  $\vec{F}$  se limitera à  $\vec{P} = m\vec{g}$  d'où  $g = a$

#### 2.1.1 Solutions Analytiques

On peut alors obtenir les équations analytiques avec  $x(t)$  et  $z(t)$  qui nous serviront de références :

$$\begin{aligned} x(t) &= v_0 \cos(\alpha)t \\ z(t) &= v_0 \sin(\alpha)t - \frac{gt^2}{2} + h \end{aligned}$$

On peut aussi obtenir les équations qui nous donneront la portée et le temps :

$$\begin{aligned} portee &= \frac{v_0}{g} \cos(\alpha) \sqrt{v_0 \sin(\alpha) + (v_0 \sin(\alpha))^2 + 2gh} \\ t_l &= \frac{portee}{v_0 \cos(\alpha)} \end{aligned}$$

#### 2.1.2 Modélisation Euler

Le schéma d'Euler d'ordre 1 s'écrit :

$$y_{k+1} = y_k + \Delta t \frac{df}{dt}(t_k, y_k)$$

On utilise un tableau de 4 colonnes noté  $y$  qui répertorie les positions et les vitesses comme suit, on obtient alors les équations régissant la dynamique de l'objet en chute libre :

$$\left\{ \begin{array}{l} y(1, i) = x(i) \\ y(2, i) = z(i) \\ y(3, i) = v_x(i) \\ y(4, i) = v_z(i) \end{array} \right. \iff \left\{ \begin{array}{l} \frac{dx}{dt} = v_x \\ \frac{dz}{dt} = v_z \\ \frac{dv_x}{dt} = 0 \\ \frac{dv_z}{dt} = -g \end{array} \right.$$

On peut alors modéliser notre trajectoire de chute libre par un système du type :

$$\left\{ \begin{array}{l} y(3, i+1) = y(3, i) \\ y(4, i+1) = y(4, i) - dt \times g \\ y(1, i+1) = y(1, i) + dt \times y(3, i) \\ y(2, i+1) = y(2, i) + dt \times y(4, i) \end{array} \right.$$

Avec  $dt$  le pas de temps utilisé définit comme :

$$dt = \frac{\text{nombre de points}}{\text{temps simulation}}$$

A chaque itération, on recalcule les vitesses  $v_x$  et  $v_z$ , ainsi que les positions en  $x$  et en  $z$  à partir du système précédent.

### 2.1.3 Modélisation Runge-Kutta d'ordre 4

Le schéma de Runge-Kutta d'ordre 4 est construit comme ceci :

$$y_{k+1} = y_k + \frac{\Delta t}{6}(k_1 + 2k_2 + 2k_3 + k_4)$$

Avec :

$$\left\{ \begin{array}{l} k_1 = \frac{dy_k}{dt} \\ k_2 = \frac{dy_k}{dt} + \frac{\Delta t}{2} \times k_1 \\ k_3 = \frac{dy_k}{dt} + \frac{\Delta t}{2} \times k_2 \\ k_4 = \frac{dy_k}{dt} + \Delta t \times k_3 \end{array} \right.$$

On utilisera les dérivées de la modélisation chute libre de la méthode d'Euler 2.1.2 en appliquant la méthode Runge-Kutta à l'ordre 4.

## 2.2 Objet Portant Propulsé

On étudiera ici notre objet de masse  $m$  possédant une vitesse initiale  $v_0$  formant un angle  $\alpha$  avec l'axe des abscisses à une altitude initiale  $h$ , sera soumis à une force de propulsion  $F_0$ , une force de portance  $L$  et une force de traînée  $D$ .

### 2.2.1 Méthode Euler

On reprend le même schéma d'Euler à l'ordre 1 (cf. 2.1.2) en prenant en compte les forces de portance  $L$ , de traînée  $D$  et de propulsion  $F_0$  :

$$\begin{cases} \frac{dx}{dt} = v_x \\ \frac{dz}{dt} = v_z \\ \frac{dv_x}{dt} = \frac{F_0 \cos(\theta) - L \sin(\theta) - D \cos(\theta)}{m} \\ \frac{dv_z}{dt} = \frac{-g + F_0 \sin(\theta) + L \cos(\theta) - D \sin(\theta)}{m} \end{cases}$$

Avec  $\theta$  l'angle entre les vecteurs vitesses  $v_x$  et  $v_z$  :

$$\theta = \arctan\left(\frac{v_z}{v_x}\right)$$

### 2.2.2 Méthode Runge-Kutta d'ordre 4

On reprend le schéma Runge-Kutta d'ordre 4 (cf 2.1.3) en modélisant les nouvelles dérivées vues en 2.2.1.

## 3 Architecture

Nous détaillerons ici le contenu de l'archive ainsi que l'algorithme du programme.

### 3.1 Contenu

Le programme est placé dans le dossier **Fortran** qui comprend :

- un fichier `mod_balistique.f90`
- un fichier de sous-routines `subroutines.f90`
- le programme `main.f90`
- le fichier `Makefile` permettant la compilation

Le dossier **RUN** comprend :

- les fichiers de sorties de forme `BE_Methode_Modele_npt_XXXX_.out` et `Paramétrisation_Alpha_Methode_Modele.out`
- le fichier d'entrée `balistique.in`
- l'exécutable `main.bin`

Dans le dossier **Validation** sont compris :

- les résultats du programme pour les différents modèles avec les deux modélisations
- les graphiques de résultats

Le dossier **Rapport** comprend les ressources pour le rapport  $\text{\LaTeX}$  ainsi que le rapport en lui-même.

### 3.2 Algorithmie

Voici l'algorithme général présentant le fonctionnement du programme.

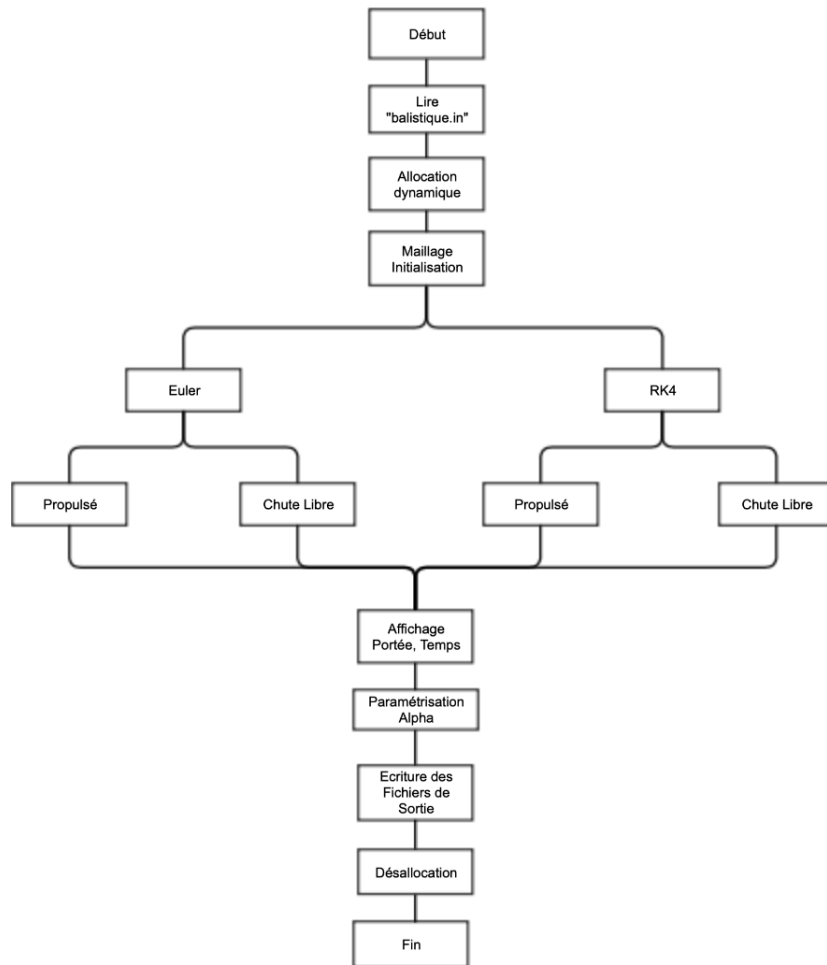


FIGURE 1 – Algorithme général du programme

### 3.2.1 Procédure RK4

Détaillons la procédure pour Runge-Kutta d'ordre 4.

On a créé une subroutine nommée `rk4` qui a pour paramètres d'entrées :

- `derivee` : dérivée de la fonction
- `n` : numéro du vecteur que l'on veut calculer

Elle calcule la valeur du vecteur  $y_{k+1}$  selon le schéma vu en 2.1.3.

On appelle cette subroutine dans les 2 cas pour calculer les positions et les vitesses en  $x$  et en  $z$  :

- Chute Libre
- Propulsé

### 3.2.2 Paramétrisation d'Angle

Pour la variation de l'angle  $\alpha$ , Dans la subroutine `parametrisation_alpha`, on modifie la variable globale de l'angle  $\alpha$  de 25 ° jusqu'à 75 ° par pas de 5 °. On appellera alors les différentes sousroutines présentes dans `main.f90` en reprenant l'architecture du programme pour calculer les trajectoires de chaque angle  $\alpha$ . On affiche ensuite la portée et le temps de chute pour tous les angles.

## 4 Validation

On effectue la validation selon la solution analytique pour le cas de la chute libre pour les deux méthodes. Nous avons pris ici 10000 points pour modéliser notre trajectoire. Les graphiques sont réalisés dans le L<sup>A</sup>T<sub>E</sub>X à l'aide de gnuplot.

### 4.1 Trajectoires

#### 4.1.1 Modèle Chute Libre

Tout d'abord selon la méthode d'Euler.

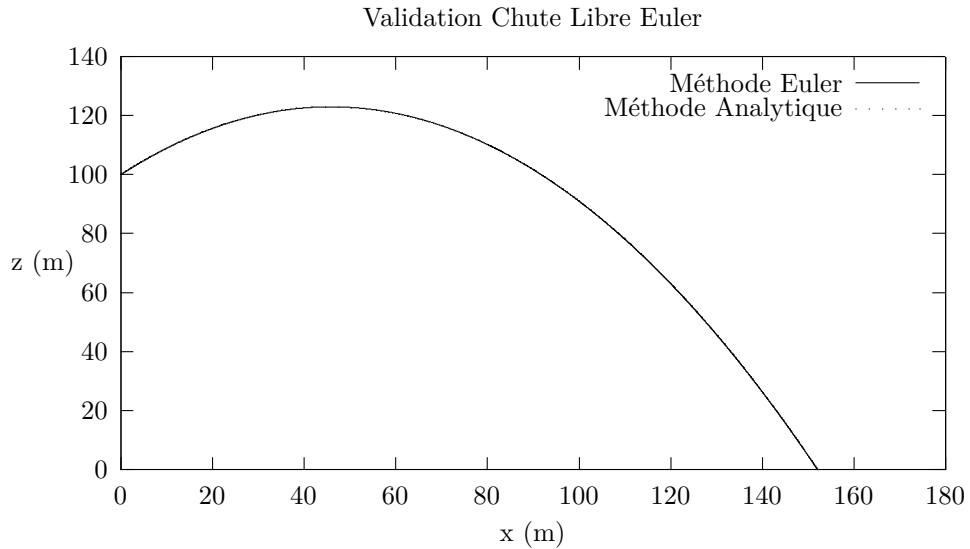


FIGURE 2 – Validation de la trajectoire en Chute Libre selon la méthode d'Euler avec la méthode Analytique

On observe la parfaite superposition entre les deux courbes, ainsi on peut valider nos résultats de trajectoires avec la résolution de la méthode d'Euler.

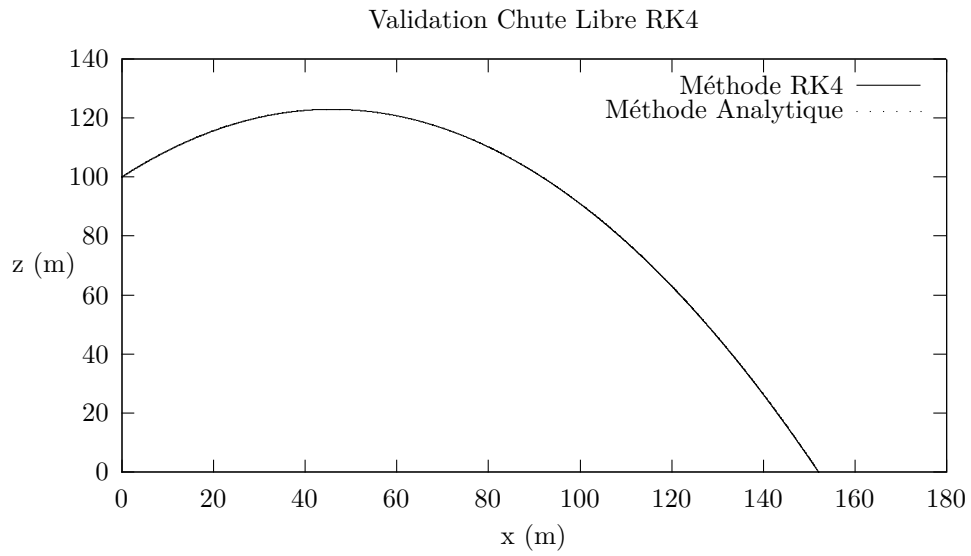


FIGURE 3 – Validation de la trajectoire en Chute Libre selon la méthode RK4 avec la méthode Analytique

On observe la parfaite superposition entre les deux courbes, ainsi on peut valider nos résultats de trajectoires avec la résolution de la méthode RK4.

#### 4.1.2 Modèle Propulsé

On observe la parfaite superposition entre les deux courbes, ainsi on peut valider nos résultats de trajectoires avec Euler et RK4.



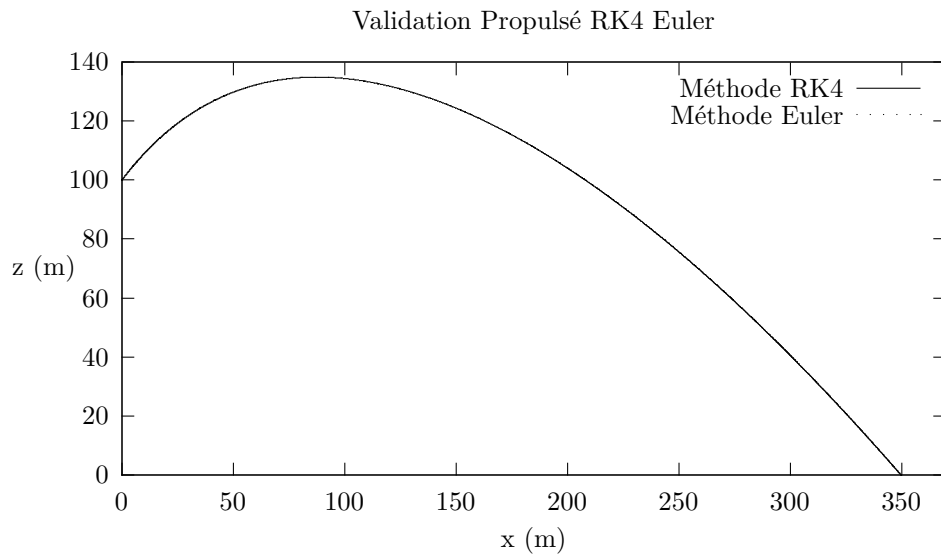


FIGURE 4 – Validation du modèle Propulsé selon la méthode RK4 et la méthode Euler

## 4.2 Paramétrisation d'Angle

### 4.2.1 Modèle Chute Libre

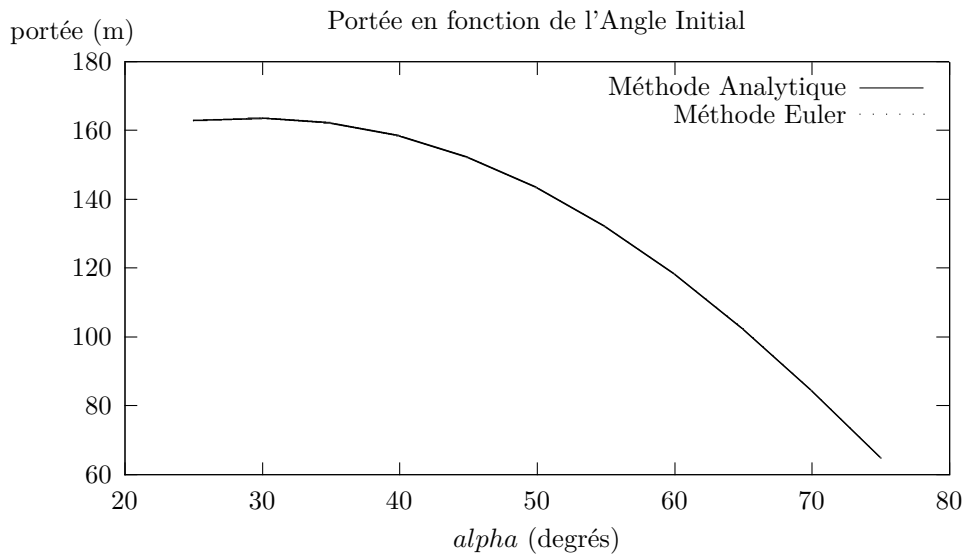


FIGURE 5 – Validation paramétrisation d' $\alpha$  avec la portée en Chute Libre selon la méthode Euler avec la méthode Analytique

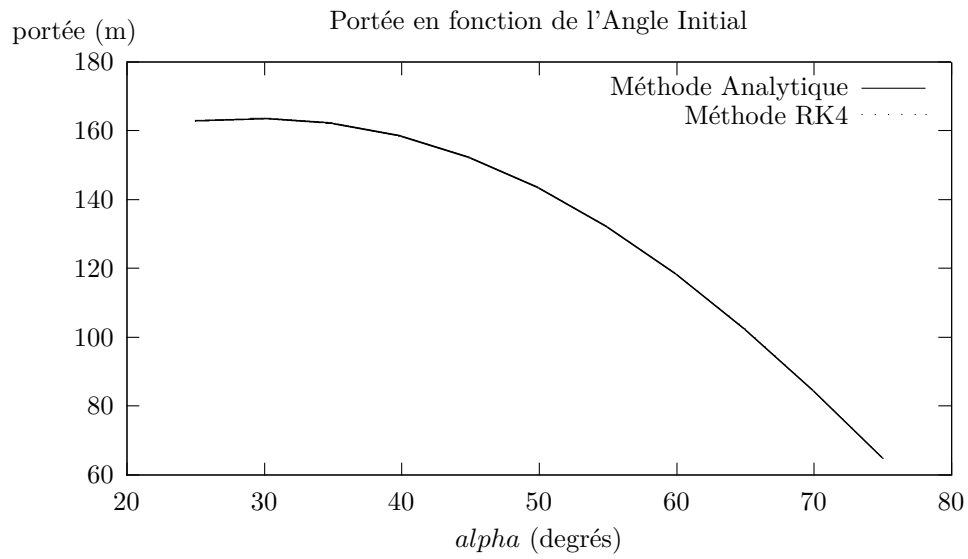


FIGURE 6 – Validation paramétrisation d' $\alpha$  avec la portée en Chute Libre selon la méthode RK4 avec la méthode Analytique

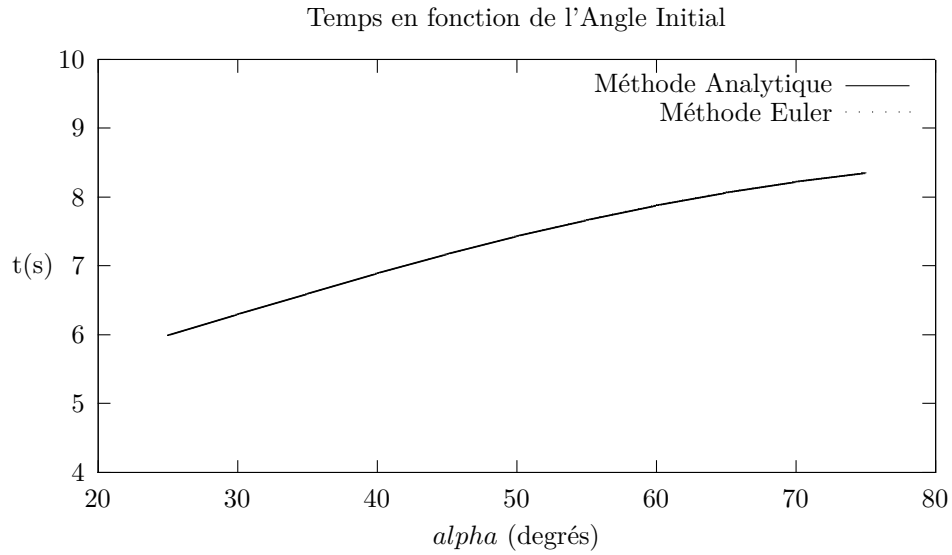


FIGURE 7 – Validation paramétrisation d' $\alpha$  avec le temps en Chute Libre selon la méthode Euler avec la méthode Analytique

On observe la parfaite superposition entre les différentes courbes de temps et de portée.

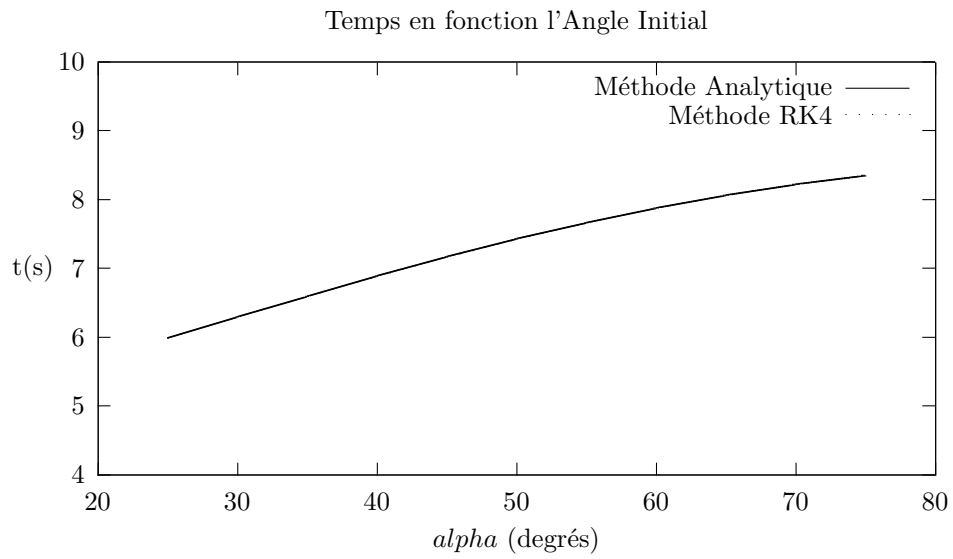


FIGURE 8 – Validation paramétrisation d'alpha avec le temps en Chute Libre selon la méthode RK4 avec la méthode Analytique

#### 4.2.2 Modèle Propulsé

Passons maintenant au modèle Propulsé.

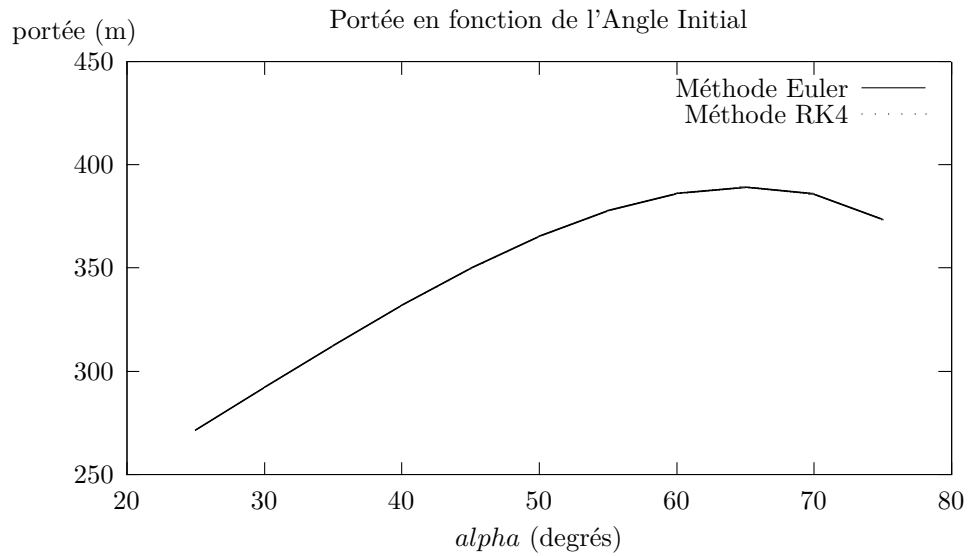


FIGURE 9 – Validation paramétrisation d'alpha avec la portée en Propulsé selon la méthode Euler avec la méthode Analytique

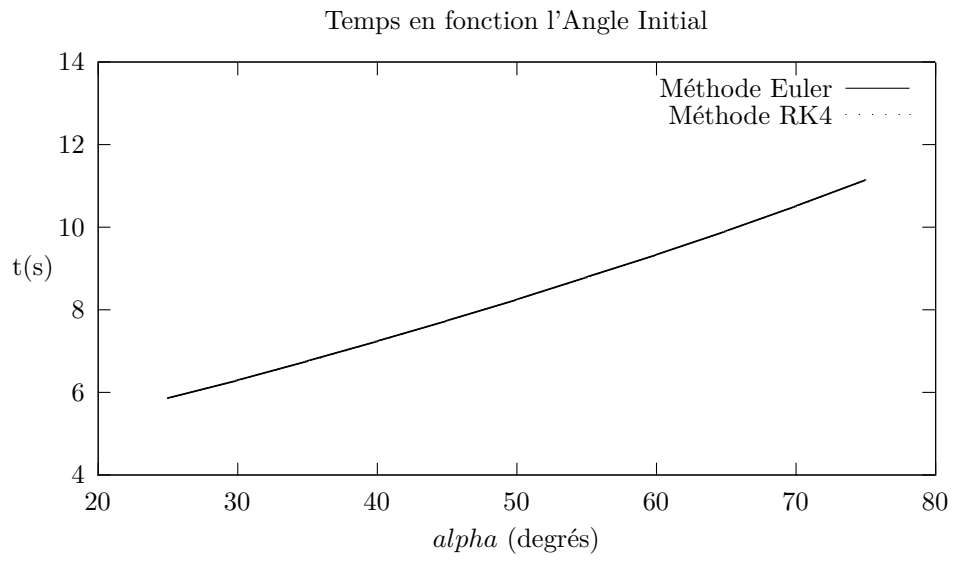


FIGURE 10 – Validation paramétrisation d' $\alpha$  avec le temps en Propulsé selon la méthode RK4 avec la méthode Analytique

## 5 Conclusion

Les courbes montrent bien que le programme fonctionne correctement malgré que l'utilisation de la méthode de Runge-Kutta d'ordre 4 ne soit pas correcte. Ceci est sans doute dû au fait que le  $\Delta t$  choisit est assez important. Pour améliorer ce programme on pourrait calculer d'autres trajectoires plus complexes avec plus de paramètres (comme un objet motorisé)

## 6 Résumés

### 6.1 Abstract

This program performs a trajectory calculation using either the Eulerian method or the Runge-Kutta method of order 4 according to the user's choice. It can calculate 2 types of trajectory of an object :

- a free fall trajectory
- a propelled trajectory by taking into account the forces of lift, drag and propulsion

The input and output data of these trajectories are contained in text files. These output data can be used to represent the trajectory on graphics.

### 6.2 Résumé

Ce programme réalise un calcul de trajectoire en utilisant soit la méthode Eulérienne soit la méthode de Runge-Kutta d'ordre 4 selon le choix de l'utilisateur. Il peut calculer 2 types de trajectoire :

- une chute libre d'un objet
- une trajectoire propulsée en prenant en compte les forces de portance, de traînée et de propulsion

Les données d'entrées et de sorties de ces trajectoires sont contenues dans des fichiers textes. Ces données de sorties peuvent être utilisées pour représenter la trajectoire sur des graphiques.